

5. Otros temas más allá del curso

5.1. Integrales de superficie

Generalizamos los dos tipos de integrales de línea. Una **superficie** a veces viene dada por $F(x, y, z) = 0$. Si se puede despejar la z , por $z = f(x, y)$. Pero lo más general es que se puede describir mediante:

$$\mathbf{r} : A \subset \mathbb{R}^2 \rightarrow \mathbb{R}^3, \text{ con } \mathbf{r}(u, v) = (x(u, v), y(u, v), z(u, v)), (u, v) \in A \quad [2 \text{ grados de libertad frente al único } t \text{ de las curvas}].$$

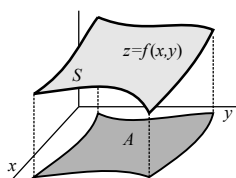
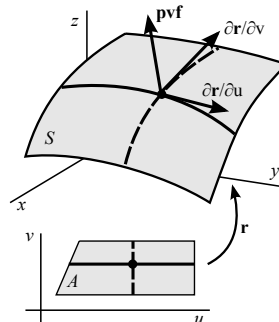
Suponemos que la superficie $S = \mathbf{r}(A)$ es C^1 [que lo es \mathbf{r}]. Entonces:

$$\frac{\partial \mathbf{r}}{\partial u} = \frac{\partial x}{\partial u} \mathbf{i} + \frac{\partial y}{\partial u} \mathbf{j} + \frac{\partial z}{\partial u} \mathbf{k} \quad \text{y} \quad \frac{\partial \mathbf{r}}{\partial v} = \frac{\partial x}{\partial v} \mathbf{i} + \frac{\partial y}{\partial v} \mathbf{j} + \frac{\partial z}{\partial v} \mathbf{k}$$

serán unos vectores tangentes a las curvas contenidas en S obtenidas tomando, respectivamente, $v = k$ y $u = k$. Su producto vectorial

$$\frac{\partial \mathbf{r}}{\partial u} \times \frac{\partial \mathbf{r}}{\partial v} = \begin{vmatrix} \mathbf{i} & \mathbf{j} & \mathbf{k} \\ \frac{\partial x}{\partial u} & \frac{\partial y}{\partial u} & \frac{\partial z}{\partial u} \\ \frac{\partial x}{\partial v} & \frac{\partial y}{\partial v} & \frac{\partial z}{\partial v} \end{vmatrix} \text{ será un vector normal a } S.$$

producto vectorial fundamental



Si la superficie se puede escribir en la forma $z = f(x, y)$ una posible parametrización de S es $\mathbf{r}(x, y) = (x, y, f(x, y))$, con $(x, y) \in A$ proyección de S sobre $z = 0$. El producto vectorial fundamental resulta ser en este caso:

$$\mathbf{r}_x \times \mathbf{r}_y = \begin{vmatrix} \mathbf{i} & \mathbf{j} & \mathbf{k} \\ 1 & 0 & f_x \\ 0 & 1 & f_y \end{vmatrix} = (-f_x, -f_y, 1).$$

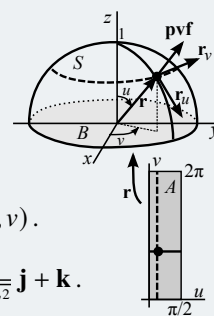
Ej 1a. Parametricemos la semisuperficie esférica unidad superior. Una posibilidad:

$$\begin{aligned} x(u, v) &= \cos u \cos v & u \in [0, 2\pi] & \quad \mathbf{r}_u = \cos u \cos v \mathbf{i} + \cos u \sin v \mathbf{j} - \sin u \mathbf{k} \\ y(u, v) &= \cos u \sin v & v \in [0, \pi/2] & \quad \mathbf{r}_v = -\sin u \sin v \mathbf{i} + \sin u \cos v \mathbf{j} \\ z(u, v) &= \cos u \end{aligned}$$

$$\text{Entonces } \mathbf{r}_u \times \mathbf{r}_v = \begin{vmatrix} \mathbf{i} & \mathbf{j} & \mathbf{k} \\ \cos u \cos v & \cos u \sin v & -\sin u \\ -\sin u \sin v & \sin u \cos v & \cos u \end{vmatrix} = \sin^2 u \cos v \mathbf{i} + \sin^2 u \sin v \mathbf{j} + \sin u \cos u \mathbf{k} \\ = \sin u (\sin u \cos v, \sin u \sin v, \cos u) = \sin u \mathbf{r}(u, v).$$

O bien:

$$(x, y, \sqrt{1-x^2-y^2}), (x, y) \in B \text{ círculo unidad y } \mathbf{r}_x \times \mathbf{r}_y = \frac{x}{\sqrt{1-x^2-y^2}} \mathbf{i} + \frac{y}{\sqrt{1-x^2-y^2}} \mathbf{j} + \mathbf{k}.$$



Integrales de superficie de campos escalares

Sea S la superficie C^1 dada por $\mathbf{r} : A \subset \mathbb{R}^2 \rightarrow \mathbb{R}^3$ y sea $f : \mathbb{R}^3 \rightarrow \mathbb{R}$ tal que $f(\mathbf{r}(u, v))$ es continua. Entonces: $\iint_S f dS \equiv \iint_A f(\mathbf{r}(u, v)) \left\| \frac{\partial \mathbf{r}}{\partial u} \times \frac{\partial \mathbf{r}}{\partial v} \right\| du dv$.

[Y si S está formada por varias superficies C^1 se suman las integrales].

[Como en las de línea se prueba que la integral de una f escalar no depende de la parametrización].

[Cuando $f \equiv 1$ el valor de la integral representa el **área de la superficie** S].

Ej 1b. Halleemos la integral de $f(x, y, z) = z^2$ sobre la superficie S del ejemplo 1a.

Primero con $\mathbf{r}(u, v) = (\cos u \cos v, \cos u \sin v, \cos u)$. $\|\mathbf{r}_u \times \mathbf{r}_v\| = |\sin u| \|\mathbf{r}\| = \sin u$ [\mathbf{r} es unitario y $\sin u \geq 0$].

$$\text{Por tanto, } \iint_S z^2 dS = \int_0^{2\pi} \int_0^{\pi/2} \cos^2 u \sin u du dv = \frac{2\pi}{3} [-\cos^3 u]_0^{\pi/2} = \frac{2\pi}{3}.$$

Con la otra parametrización, el módulo del producto vectorial fundamental resulta ser:

$$\|\mathbf{r}_x \times \mathbf{r}_y\| = \left[\frac{x^2}{1-x^2-y^2} + \frac{y^2}{1-x^2-y^2} + 1 \right]^{1/2} = \frac{1}{\sqrt{1-x^2-y^2}} \Rightarrow \\ \iint_S z^2 dS = \iint_B \sqrt{1-x^2-y^2} dx dy = \int_0^{2\pi} \int_0^1 r \sqrt{1-r^2} dr d\theta = \frac{2\pi}{3} [-(1-r^2)^{3/2}]_0^1 = \frac{2\pi}{3}.$$

Veamos que la integral de superficie nos calcula bien el área de S :

$$\text{área de } S = \iint_S 1 dS = \int_0^{2\pi} \int_0^{\pi/2} \sin u du dv = 2\pi [-\cos u]_0^{\pi/2} = 2\pi. \quad [\text{El de toda la superficie esférica era } 4\pi \cdot 1^2].$$

Integrales de superficie de campos vectoriales

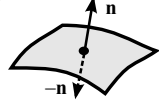
Sea S de C^1 dada por $\mathbf{r}: A \subset \mathbb{R}^2 \rightarrow \mathbb{R}^3$ y sea $\mathbf{f}: \mathbb{R}^3 \rightarrow \mathbb{R}^3$ continua sobre S . Entonces:

$$\iint_S \mathbf{f} \cdot d\mathbf{S} \equiv \iint_S \mathbf{f} \cdot \mathbf{n} \, dS \equiv \iint_A \mathbf{f}(\mathbf{r}(u, v)) \cdot \left(\frac{\partial \mathbf{r}}{\partial u} \times \frac{\partial \mathbf{r}}{\partial v} \right) du \, dv = \iint_A \mathbf{f}(\mathbf{r}(u, v)) \cdot \mathbf{n}(u, v) \|\mathbf{r}_u \times \mathbf{r}_v\| \, du \, dv$$

[si \mathbf{n} es el vector unitario normal con el mismo sentido que el producto vectorial fundamental].

Se demuestra que, **salvo el signo**, esta integral es **independiente de la parametrización**.

[Hay dos normales unitarias a una superficie orientada: \mathbf{n} y $-\mathbf{n}$ (que conste que las hay no orientadas como la banda de Moebius). Parametrizaciones diferentes proporcionan **p.v.f.** con el sentido de una o de otra. \mathbf{f} , S y el sentido de la normal sí determinan la integral].



[El significado físico de esta integral es **flujo del campo vectorial \mathbf{f} a través de la superficie S**].

Ej 1c. Integremos $\mathbf{f}(x, y, z) = (x, y, z)$ sobre la semisuperficie esférica S de siempre.

$$\iint_S \mathbf{f} \cdot d\mathbf{S} = \iint_A \mathbf{r}(u, v) \cdot \left[\underset{\substack{\uparrow \\ \text{r unitario}}}{\text{sen } u \, \mathbf{r}(u, v)} \right] du \, dv = \int_0^{2\pi} \int_0^{\pi/2} \text{sen } u \, du \, dv = 2\pi \left[-\cos u \right]_0^{\pi/2} = 2\pi.$$

Con la otra parametrización: $\mathbf{f} \cdot (\mathbf{r}_x \times \mathbf{r}_y) = (x, y, \sqrt{1-x^2-y^2}) \left(\frac{x}{\sqrt{1-x^2-y^2}}, \frac{y}{\sqrt{1-x^2-y^2}}, 1 \right) \Rightarrow$

$$\iint_S \mathbf{f} \cdot d\mathbf{S} = \iint_B \frac{dx \, dy}{\sqrt{1-x^2-y^2}} \underset{\substack{\uparrow \\ \text{polares}}}{=} \int_0^{2\pi} \int_0^1 r(1-r^2)^{-1/2} dr \, d\theta = 2\pi \left[-(1-r^2)^{1/2} \right]_0^1 = 2\pi.$$

Teorema de la divergencia en el espacio (o de Gauss-Ostrogradsky)

Sea V una región del espacio limitado por una superficie conexa y sea $\mathbf{f} \in C^1$. Entonces:

$$\iiint_V \text{div } \mathbf{f} \, dx \, dy \, dz = \iint_{\partial V} \mathbf{f} \cdot \mathbf{n} \, dS, \text{ con } \mathbf{n} \text{ vector normal unitario exterior a } V.$$

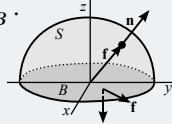
Ej 1d. Comprobémoslo para la $\mathbf{f}(x, y, z) = (x, y, z)$ de arriba y la semiesfera unidad superior.

Por una parte: $\iiint_V \text{div } \mathbf{f} \, dx \, dy \, dz = 3 \iiint_V dx \, dy \, dz = 3 \times \text{volumen de } V = 3 \times \frac{1}{2} \frac{4}{3} \pi \cdot 1^3 = 2\pi.$

Por otra, ∂V tiene dos partes, la S superior y el círculo B de la base: $\iint_{\partial V} = \iint_S + \iint_B.$

Para S es $\mathbf{n} = \mathbf{f} = \mathbf{r}$ [$\Rightarrow \mathbf{f} \cdot \mathbf{n} = 1$], y para B es $\mathbf{n} = -\mathbf{k}$ [$\Rightarrow \mathbf{f} \cdot \mathbf{n} = (x, y, 0) \cdot (0, 0, -1) = 0$].

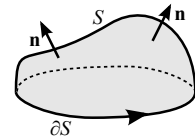
Por tanto, $\iint_{\partial V} \mathbf{f} \cdot \mathbf{n} \, dS = \iint_S 1 \, dS + 0 = \text{área de } S = 2\pi.$



Teorema de Stokes

Sea S una superficie en el espacio limitada por la curva ∂S y sea $\mathbf{f} \in C^1$.

Entonces: $\iint_S \text{rot } \mathbf{f} \cdot \mathbf{n} \, dS = \oint_{\partial S} \mathbf{f} \cdot d\mathbf{s}$, con \mathbf{n} vector unitario normal a S y con los sentidos de \mathbf{n} y de recorrido de ∂S indicados en el dibujo.



Ej 1e. Comprobamos el teorema para: i) $\mathbf{f}(x, y, z) = (x, y, z)$ y ii) $\mathbf{g}(x, y, z) = (0, 0, y)$, y la S habitual.

Para i) es $\text{rot } \mathbf{f} = \mathbf{0} \Rightarrow \iint_S \text{rot } \mathbf{f} \cdot \mathbf{n} \, dS = 0$. Como $\text{rot } \mathbf{f} = \mathbf{0}$, sabemos que \mathbf{f} deriva de un potencial.

Casi a simple vista se ve que $U = \frac{1}{2}(x^2 + y^2 + z^2)$ cumple $\nabla U = \mathbf{0}$. Por tanto, $\oint \mathbf{f} \cdot d\mathbf{s} = 0$ también.

Para ii) debemos echar alguna cuenta más pues $\text{rot } \mathbf{g} = \mathbf{i}$ [$\Rightarrow \text{rot } \mathbf{g} \cdot \mathbf{n} = (1, 0, 0) \cdot (x, y, z) = x$].

Así pues, $\iint_S \text{rot } \mathbf{g} \cdot \mathbf{n} \, dS = \iint_S x \, dS = \int_0^{2\pi} \cos v \, dv \int_0^{\pi/2} \text{sen}^2 u \, du = 0$ [la primera integral lo es].

Integral que también se puede hacer: $\iint_B \frac{x \, dx \, dy}{\sqrt{1-x^2-y^2}} = \int_0^{2\pi} \int_0^1 r^2(1-r^2)^{-1/2} \cos \theta \, dr \, d\theta = 0.$

Una posible parametrización de ∂S es $\mathbf{c}(t) = (\cos t, \text{sen } t, 0)$, $t \in [0, 2\pi] \Rightarrow \mathbf{g}(\mathbf{c}(t)) = (0, 0, \text{sen } t)$.

Por tanto, $\oint \mathbf{g} \cdot d\mathbf{s} = \int_0^{2\pi} (0, 0, \text{sen } t) \cdot (-\text{sen } t, \cos t, 0) \, dt = \int_0^{2\pi} 0 \, dt = 0$, como debía ser.

[La integral de línea a lo largo de la circunferencia se ha anulado, a pesar de no ser el campo conservativo. En este caso, \mathbf{g} y \mathbf{c}' eran ortogonales. Sobre otras curvas cerradas, la integral de \mathbf{g} será distinta de 0. Dijimos que para que \mathbf{g} fuese conservativo, su integral a lo largo de **todo** camino cerrado debía ser nula].

5.2. Soluciones de EDOs por medio de series

Series de potencias y funciones analíticas (junto a estas notas se incluye un **repaso de series**).

Una función $f(x)$ es **analítica** en $x=x_0$ si viene dada por una **serie de potencias** cerca de x_0 :

$$f(x) = \sum_{k=0}^{\infty} c_k (x-x_0)^k = c_0 + c_1(x-x_0) + c_2(x-x_0)^2 + c_3(x-x_0)^3 + \dots$$

A partir de ahora, suponemos que $x=0$ (si no, con $x-x_0=s$ estaríamos en ese caso): $f(x) = \sum_{k=0}^{\infty} c_k x^k$.

A cada serie de potencias está asociado un **radio de convergencia** R tal que:
 Si $R=0$, la serie sólo converge en $x=0$. Si $R=\infty$, converge para todo x .
 Si $0 < R < \infty$, converge si $|x| < R$ y diverge si $|x| > R$ (en $x = \pm R$ no se sabe).

Una serie de potencias, para $|x| < R$ (donde converge), **se puede derivar e integrar término a término**:

$$f'(x) = \sum_{k=1}^{\infty} k c_k x^{k-1} = c_1 + 2c_2x + 3c_3x^2 + \dots, \quad f''(x) = \sum_{k=2}^{\infty} k(k-1)c_k x^{k-2} = 2c_2 + 6c_3x + \dots, \dots$$

$$\int \left(\sum_{k=0}^{\infty} c_k x^k \right) dx = C + \sum_{k=0}^{\infty} \frac{c_k}{k+1} x^{k+1} = C + c_0x + \frac{c_1}{2}x^2 + \dots \quad \text{si } |x| < R.$$

Y también se pueden sumar, multiplicar, ... estas series como si fuesen polinomios:

$$f(x) = \sum_{k=0}^{\infty} a_k x^k \quad \text{si } |x| < R_f \quad \text{y} \quad g(x) = \sum_{k=0}^{\infty} b_k x^k \quad \text{si } |x| < R_g \Rightarrow \text{Si } |x| < \min\{R_f, R_g\},$$

$$f(x) + g(x) = \sum_{k=0}^{\infty} [a_k + b_k] x^k, \quad f(x)g(x) = a_0b_0 + (a_0b_1 + a_1b_0)x + (a_0b_2 + a_1b_1 + a_2b_0)x^2 + \dots$$

Caso particular de estas series son las de **Taylor** $\sum_{k=0}^{\infty} \frac{f^{(k)}(0)}{k!} x^k$, de una f con infinitas derivadas en 0.

Muchas funciones elementales coinciden con su serie de Taylor donde converge. Por ejemplo:

$$e^x = \sum_{k=0}^{\infty} \frac{x^k}{k!}, \quad \text{sen } x = \sum_{k=0}^{\infty} \frac{(-1)^k x^{2k+1}}{(2k+1)!}, \quad \text{cos } x = \sum_{k=0}^{\infty} \frac{(-1)^k x^{2k}}{(2k)!}, \quad \text{sh } x = \sum_{k=0}^{\infty} \frac{x^{2k+1}}{(2k+1)!}, \quad \text{ch } x = \sum_{k=0}^{\infty} \frac{x^{2k}}{(2k)!}, \quad \forall x \in \mathbf{R}.$$

$$\frac{1}{1-x} = \sum_{k=0}^{\infty} x^k, \quad \ln(1+x) = \sum_{k=0}^{\infty} \frac{(-1)^k x^{k+1}}{k+1}, \quad \arctan x = \sum_{k=0}^{\infty} \frac{(-1)^k x^{2k+1}}{2k+1}, \quad [1+x]^p = 1 + px + \frac{p(p-1)x^2}{2!} + \dots, \quad |x| < 1.$$

Son, pues, **analíticas**. [No lo son $\ln x$ ó x^p , $p \neq 0, 1, \dots$ en $x=0$, cocientes con denominador nulo...].

Puntos regulares

Sea [e] $y'' + a(x)y' + b(x)y = 0$. Se dice que $x=x_0$ es un **punto regular de [e]** si a y b son **analíticas en** $x=x_0$. En caso contrario se dice que $x=x_0$ es **punto singular** de [e].

En 3.2 vimos las pocas lineales con coeficientes variables resolubles. Para el resto, si $x=0$ es regular (si a y b se pueden escribir como series), parece adecuado suponer que también **la solución es una serie de potencias y llevarla a la ecuación para determinar sus coeficientes**. Empecemos con un ejemplo:

Ej 1. Resolvamos $y'' + xy = 0$. $x=0$ es regular pues $a(x)=0$ y $b(x)=x$ son analíticas (con $R=\infty$).

Llevamos una serie de potencias arbitraria y sus derivadas a la ecuación:

$$y = \sum_{k=0}^{\infty} c_k x^k, \quad y' = \sum_{k=1}^{\infty} k c_k x^{k-1}, \quad y'' = \sum_{k=2}^{\infty} k(k-1)c_k x^{k-2} \rightarrow \sum_{k=2}^{\infty} k(k-1)c_k x^{k-2} + \sum_{k=0}^{\infty} c_k x^{k+1} = 0.$$

La solución deberá contener dos constantes arbitrarias. Intentamos **escribir los c_k en función de los dos primeros** c_0 y c_1 . Como han de ser 0 los coeficientes de cada potencia de x , deducimos:

$$x^0: 2c_2 = 0. \quad x^1: 6c_3 + c_0 = 0, \quad c_3 = -\frac{1}{6}c_0. \quad \dots \quad x^{k-2}: k(k-1)c_k + c_{k-3} = 0, \quad c_k = -\frac{1}{k(k-1)}c_{k-3}.$$

La última igualdad es la que se llama **regla de recurrencia** que expresa un coeficiente en función de los anteriores. De ella es fácil deducir los siguientes (siempre en función de c_0 o c_1):

$$c_5 = c_8 = \dots = 0; \quad c_4 = -\frac{1}{12}c_1; \quad c_6 = -\frac{1}{30}c_3 = \frac{1}{180}c_0; \quad c_7 = -\frac{1}{42}c_4 = \frac{1}{504}c_1; \quad \dots \rightarrow$$

$$y = c_0 \left[1 - \frac{1}{6}x^3 + \frac{1}{120}x^6 + \dots \right] + c_1 \left[x - \frac{1}{12}x^4 + \frac{1}{504}x^7 + \dots \right] \equiv c_0 y_1 + c_1 y_2, \quad c_0, c_1 \text{ indeterminados.}$$

Para que esto sea la solución general, las series deben converger y debe ser su wronskiano no nulo (lo segundo es fácil de comprobar y el teorema 1 nos asegurará que estas series convergen $\forall x$).

Lo visto en el ejemplo anterior es lo que ocurre en general, como asegura este teorema:

Si $x=0$ es regular y R es el menor de los radios de convergencia de a y b , la solución general de [e] $y'' + a(x)y' + b(x)y = 0$ es $y = c_0y_1 + c_1y_2 = c_0 \left[1 + \sum \right] + c_1 \left[x + \sum \right]$, con c_0, c_1 arbitrarios, y las series, que tienen potencias x^k con $k \geq 2$, convergen, al menos, si $|x| < R$.

Teor 1. Los coeficientes las series se determinan de forma única probando una serie de potencias arbitraria en [e] [con $a(x)$ y $b(x)$ desarrolladas en serie, si no son polinomios] y expresando sus coeficientes c_k , para $k \geq 2$, en función de c_0 y c_1 .

La solución única de [e] con $y(0) = y_0$, $y'(0) = y'_0$ se obtiene haciendo $c_0 = y_0$, $c_1 = y'_0$.

[Lo de los datos iniciales es inmediato a la vista de la forma de las soluciones].

En el siguiente ejemplo nos van a ir mejor las cosas, porque no sólo vamos a poder calcular unos términos sino que vamos a poder dar las expresiones generales de las series.

Ej 2. $(1+x^2)y'' + 2xy' - 2y = 0$, es decir, $y'' + \frac{2x}{1+x^2}y' - \frac{2}{1+x^2}y = 0$ [$a(x) = \frac{2x}{1+x^2}$ y $b(x) = \frac{2}{1+x^2}$].

Que $x=0$ es punto regular se deduce del hecho de que P/Q , con P y Q polinomios y $Q(0) \neq 0$ es analítica siempre. Se tiene que además que **el radio R de su desarrollo**, simplificados los factores comunes de P y Q , **es la distancia al origen de la raíz (real o compleja) de Q más próxima**. En nuestro caso será, pues, $R = 1$ ($x = \pm i$ ceros del denominador).

Llevando la serie arbitraria a la ecuación inicial:

$$y = \sum_{k=0}^{\infty} c_k x^k \rightarrow \sum_{k=2}^{\infty} [k(k-1)c_k x^{k-2} + k(k-1)c_k x^k] + \sum_{k=1}^{\infty} 2k c_k x^k - \sum_{k=0}^{\infty} 2c_k x^k = 0 \rightarrow$$

$$x^0: 2 \cdot 1 \cdot c_2 - 2 \cdot c_0 = 0 \rightarrow c_2 = c_0, \quad x^1: 3 \cdot 2 \cdot c_3 + [2-2]c_1 = 0 \rightarrow c_3 = 0, \dots$$

$$x^k: (k+2)(k+1)c_{k+2} + [k(k-1) + 2k - 2]c_k = 0.$$

La última igualdad nos da la regla de recurrencia, que, como en el anterior ejemplo, tiene sólo 2 términos (queda c_{k+2} en función de c_k), pero otras veces pueden aparecer varios, lo que complica las cuentas. Para facilitar los cálculos, **factorizamos los polinomios que aparecen** hallando sus raíces:

$$c_{k+2} = -\frac{(k+2)(k-1)}{(k+2)(k+1)} c_k = -\frac{k-1}{k+1} c_k, \quad k=0, 1, \dots$$

Usando esta regla escribimos más c_k con el objetivo de hallar la expresión del **término general** de la serie (en muchos casos esto no será posible, pero ya dijimos que aquí sí):

$$c_4 = -\frac{1}{3}c_2 = -\frac{1}{3}c_0, \quad c_6 = -\frac{3}{5}c_4 = \frac{1}{5}c_0, \quad c_8 = -\frac{5}{7}c_6 = -\frac{1}{7}c_0, \dots$$

$$c_5 = 0 \text{ por estar en función de } c_3 \text{ que se anulaba. Análogamente } c_7 = c_9 = \dots = 0.$$

El numerador de c_{2k} es 1, el denominador es $2k-1$ y el signo va alternando, así que:

$$c_{2k} = (-1)^{k+1} \frac{1}{2k-1} c_0, \quad k=2, 3, \dots$$

Agrupamos, como antes, los términos que acompañan a c_0 y c_1 (que quedan libres) y obtenemos:

$$y = c_0 \left[1 + x^2 - \frac{1}{3}x^4 + \frac{1}{5}x^6 + \dots \right] + c_1 x = c_0 \left[1 + \sum_{k=0}^{\infty} (-1)^{k+1} \frac{x^{2k}}{2k-1} \right] + c_1 x = c_0 y_1 + c_1 y_2,$$

El teorema aseguraba que las series iban a converger al menos si $|x| < 1$ y esto es lo que sucede: la serie de y_1 (se ve fácilmente con el criterio del cociente) converge si $|x| < 1$ y la 'serie' de y_2 (truncada a partir de su segundo término) converge $\forall x$.

Que y_1 e y_2 son linealmente independientes se deduce (aquí y en general) del wronskiano en $x=0$ de ambas, que es 1 (puesto que $y_1(0)=1$, $y_1'(0)=0$, $y_2(0)=0$, $y_2'(0)=1$).

Esta ecuación se podría resolver sin series. Como $y_2 = x$ era una solución, según vimos en 3.2:

$$y_1 = y_2 \int y_2^{-2} e^{-\int a} dx = x \int x^{-2} e^{-\int \frac{2x}{1+x^2}} dx = x \int \frac{dx}{x^2(1+x^2)} = x \int \left[\frac{1}{x^2} - \frac{1}{1+x^2} \right] dx = -1 - x \arctan x$$

[cuyo desarrollo, salvo el signo, coincide con el obtenido anteriormente].

Para resolver una [e] cerca de otro x_0 regular, el **cambio de variable** $s = x - x_0$ la llevaría a una ecuación en s para la que $s=0$ es regular. Probaríamos entonces para hallar su solución la serie:

$$y = \sum_{k=0}^{\infty} c_k s^k \quad \left[\text{es decir, } y = \sum_{k=0}^{\infty} c_k (x - x_0)^k \right].$$

Puntos singulares regulares

Si $x = x_0$ es punto singular de $[e] \ y'' + a(x)y' + b(x)y = 0$ (si a o b o ambas no son analíticas en $x = x_0$), no es aplicable el teorema 1. Pero también sabremos hallar las soluciones utilizando series si son 'poco singulares'. Suponemos que nuestro **punto singular** es $x = 0$. Si queremos estudiar las soluciones cerca de otro x_0 , el cambio $s = x - x_0$ lleva el problema al estudio de las soluciones cerca de $s = 0$.

Escribamos $[e]$ de otra forma. Multiplicando por x^2 y llamando $a^*(x) = xa(x)$ y $b^*(x) = x^2b(x)$:

$$[e^*] \quad x^2 y'' + x a^*(x) y' + b^*(x) y = 0 \quad \left\{ \begin{array}{l} x=0 \text{ es punto singular regular de } [e] - [e^*] \\ \text{si } a^* \text{ y } b^* \text{ son analíticas en } x=0. \end{array} \right.$$

Se podrá escribir entonces para $|x| < R$, mínimo de los radios de convergencia de $a^*(x)$ y $b^*(x)$:

$$a^*(x) = a_0^* + a_1^* x + \dots, \quad b^*(x) = b_0^* + b_1^* x + \dots \quad [\text{Normalmente será } a_0^* = a^*(0) \text{ y } b_0^* = b^*(0)].$$

La ecuación más sencilla como $[e^*]$ es la de Euler (sus 'series' $a^*(x)$ y $b^*(x)$ tienen un único término), que tiene soluciones x^r (a veces acompañadas de $\ln x$). Es esperable que $[e^*]$ tenga soluciones del tipo:

$$y = x^r \sum_{k=0}^{\infty} c_k x^k = c_0 x^r + c_1 x^{r+1} + \dots \quad \text{para los } r \text{ que cumplan } \boxed{r(r-1) + a_0^* r + b_0^* = 0} \quad \text{polinomio indicial}$$

Teorema de Frobenius

Supongamos que el polinomio indicial tiene raíces reales r_1, r_2 con $r_1 \geq r_2$.

Entonces siempre una primera solución y_1 de $[e^*]$ es de la forma $y_1 = x^{r_1} \sum_{k=0}^{\infty} c_k x^k$, $c_0 \neq 0$.

La segunda solución y_2 linealmente independiente es, según los casos:

a) Si $r_1 - r_2 \neq 0, 1, 2, \dots$, $y_2 = x^{r_2} \sum_{k=0}^{\infty} b_k x^k$, $b_0 \neq 0$. **b)** Si $r_1 = r_2$, $y_2 = x^{r_1+1} \sum_{k=0}^{\infty} b_k x^k + y_1 \ln x$.

c) Si $r_1 - r_2 = 1, 2, 3, \dots$, $y_2 = x^{r_2} \sum_{k=0}^{\infty} b_k x^k + d y_1 \ln x$, $b_0 \neq 0$, $d \in \mathbf{R}$.

Todas las series convergen al menos si $|x| < R$ y los coeficientes c_k, b_k y la constante d de **c)** se hallan llevando cada una de las soluciones a la ecuación.

Podrían salir raíces complejas, pero nos limitamos a las reales. En Euler, si r_1 y r_2 eran distintas, las dos soluciones eran x^{r_1} y x^{r_2} . Si r era doble había una solución x^r y otra $x^r \ln x$. En el caso **c)** la constante d puede salir 0 y existir, pese a todo, dos soluciones de la forma $x^r \sum$ (como en Euler).

Ej 3. $\boxed{2xy'' + y' + xy = 0}$, o sea, $x^2 y'' + x \frac{1}{2} y' + \frac{x^2}{2} y = 0$. $a^*(x) = \frac{1}{2}$ y $b^*(x) = \frac{x^2}{2}$ analíticas ($R = \infty$)
 $x=0$ singular regular. $a_0^* = \frac{1}{2}$, $b_0^* = 0 \rightarrow r(r-1) + \frac{1}{2}r + 0 \rightarrow r_1 = \frac{1}{2}$, $r_2 = 0$, $r_1 - r_2 \notin \mathbf{N}$.

Las series solución son: $y_1 = \sum_{k=0}^{\infty} c_k x^{k+1/2}$, $c_0 \neq 0$ e $y_2 = \sum_{k=0}^{\infty} b_k x^k$, $b_0 \neq 0$ (convergen $\forall x \in \mathbf{R}$, según el teorema).

Llevando y_1 a la ecuación (las series se derivan como las de potencias):

$$\sum_{k=0}^{\infty} \left[2(k + \frac{1}{2})(k - \frac{1}{2})c_k x^{k-1/2} + (k + \frac{1}{2})c_k x^{k-1/2} + c_k x^{k+3/2} \right] = \sum_{k=0}^{\infty} \left[k(2k+1)c_k x^{k-1/2} + c_k x^{k+3/2} \right] = 0 \rightarrow$$

(ahora las 3 series empiezan por $k=0$)

$$x^{-1/2}: 0 \cdot c_0 = 0 \text{ y } c_0 \text{ queda indeterminado como debía.} \quad x^{1/2}: 3c_1 = 0 \rightarrow c_1 = 0.$$

$$x^{k-1/2}: k(2k+1)c_k + c_{k-2} = 0, \quad c_k = -\frac{1}{k(2k+1)}c_{k-2}, \quad k=2, 3, \dots \Rightarrow c_3 = c_5 = \dots = 0 \text{ y además:}$$

$$c_2 = -\frac{1}{10}c_0, \quad c_4 = -\frac{1}{36}c_2 = \frac{1}{360}c_0, \dots \rightarrow y_1 = x^{1/2} \left[1 - \frac{1}{32}x^2 + \frac{1}{320}x^4 - \dots \right] \quad (\text{eligiendo, por ejemplo, } c_0 = 1).$$

Para la y_2 : $\sum_{k=2}^{\infty} 2k(k-1)b_k x^{k-1} + \sum_{k=1}^{\infty} k b_k x^{k-1} + \sum_{k=0}^{\infty} b_k x^{k+1} = 0 \rightarrow x^0: b_1 = 0;$

$$x^1: [4+2]b_2 + b_0 = 0, \quad b_2 = -\frac{1}{6}b_0; \quad x^{k-1}: [2k(k-1)+k]b_k + b_{k-2} = 0, \quad b_k = -\frac{1}{k(2k-1)}b_{k-2}, \quad k=2, \dots$$

$$\rightarrow b_3 = b_5 = \dots = 0, \quad b_4 = -\frac{1}{28}b_2 = \frac{1}{168}b_0, \dots \rightarrow y_2 = 1 - \frac{1}{6}x^2 + \frac{1}{168}x^4 - \dots$$

Ej 4. $\boxed{x^2 y'' + (\frac{1}{4} - 4x^2)y = 0}$ $a^*(x) = 0$, $b^*(x) = \frac{1}{4} - 4x^2$ analíticas en \mathbf{R} . $x=0$ singular regular.

$$r(r-1) - \frac{1}{4} = 0, \quad r = \frac{1}{2} \text{ doble} \rightarrow y_1 = \sum_{k=0}^{\infty} c_k x^{k+1/2} \rightarrow \sum_{k=0}^{\infty} [k^2 c_k x^{k+1/2} - 4c_k x^{k+5/2}] = 0 \rightarrow$$

$$x^{1/2}: 0 \cdot c_0 = 0, \quad c_0 \text{ cualquiera}; \quad x^{3/2}: c_1 = 0; \quad x^{k+1/2}: k^2 c_k - 4c_{k-2} = 0; \quad c_k = \frac{4}{k^2} c_{k-2} \quad \text{regla de recurrencia}$$

$$\rightarrow c_2 = c_0, \quad c_3 = 0, \quad c_4 = \frac{4}{16}c_2 = \frac{1}{4}c_0, \dots, \quad y_1 = x^{1/2} \left[1 + x^2 + \frac{1}{4}x^4 + \dots \right].$$

La otra solución tiene seguro logaritmo: $y_2 = x^{3/2} \sum_{k=0}^{\infty} b_k x^k + y_1 \ln x$. Es largo y no la calculamos.

5.3. Problemas más complicados por separación de variables

En los primeros (en **2 variables**) aparecen **EDOs desconocidas** que se suelen exigir usar las series de 5.2. [Tienen más variables, pero supondremos que son independientes de algunas]. También salen problemas de contorno en los que en vez de las condiciones habituales se usa la menos fuerte de la **acotación** (lo visto en 3.3 no es aplicable por ser $p=0$ ó $r=0$ en algún extremo del intervalo). Son **problemas singulares** como:

Ej 1.
$$\begin{cases} xy'' + 2y' + \lambda xy = 0 \\ y \text{ acotada en } x=0, y(1)=0 \end{cases} \quad y'' + \frac{2}{x}y' + \lambda y = 0 \xrightarrow{e^{\int \frac{2}{x} dx} = x^2} [x^2 y']' + \lambda x^2 y = 0 \quad [\text{es } p(0)=r(0)=0].$$

Haciendo el cambio $z = xy$ la ecuación pasa a ser la conocida $z'' + \lambda z = 0$. Se ve que no hay $\lambda \leq 0$.

Para $\lambda > 0$, la solución general será $y = c_1 \frac{\cos wx}{x} + c_2 \frac{\sen wx}{x}$ (puesto que $z = c_1 \cos wx + c_2 \sen wx$).

Imponemos los datos: y acotada $\rightarrow c_1 = 0$ (ya que $\frac{\cos wx}{x} \xrightarrow{x \rightarrow 0^+} \infty$, mientras que $\frac{\sen wx}{x} \xrightarrow{x \rightarrow 0} w$).

Imponiendo el segundo: $y(1)=0 \rightarrow \sen w = 0 \rightarrow \lambda_n = n^2 \pi^2, n = 1, 2, \dots, y_n = \left\{ \frac{\sen n\pi x}{x} \right\}$.

Autofunciones ortogonales respecto al peso $r(x) = x^2$, pues $\langle y_n, y_m \rangle = \int_0^1 x^2 \frac{\sen nx}{x} \frac{\sen mx}{x} dx = 0, n \neq m$.

[Un dato típico como $y(0) = y(1) = 0$ implicaría que $c_1 = c_2 = 0$, y la única solución sería $y \equiv 0 \forall \lambda$].

La **ecuación de ondas** $u_{tt} - c^2 \Delta u = 0$ en **esféricas** tiene, en general, 4 variables (el tiempo t y las ρ, θ, ϕ), cuyas soluciones quedan determinadas (como en la recta) fijando unos datos de contorno y dos condiciones iniciales. Buscando soluciones que no dependen de los ángulos aparece la **ecuación de ondas en el espacio con simetría radial** (en ρ y t). Resolvemos para ella un problema homogéneo:

Ej 2.
$$\begin{cases} u_{tt} - [u_{\rho\rho} + \frac{2}{\rho}u_{\rho}] = 0, 1 \leq \rho \leq 2, t \in \mathbf{R} \\ u(\rho, 0) = f(\rho), u_t(\rho, 0) = g(\rho), u(1, t) = u(2, t) = 0 \end{cases}$$
 Separando variables en esta nueva EDP y haciendo uso de los datos de contorno:

$$u = R(\rho)T(t) \rightarrow \frac{R'' + \frac{2R'}{\rho}}{R} = \frac{T''}{T} = -\lambda \rightarrow \begin{cases} \rho R'' + 2R' + \lambda \rho R = 0, R(1) = R(2) = 0 \\ T'' + \lambda T = 0 \end{cases}$$

Arriba vemos la ecuación de R (ahora asociada a un problema regular porque estamos en $[1, 2]$).

$$S = \rho R \rightarrow \begin{cases} S'' + \lambda S = 0 & \rho = s+1 \\ S(1) = S(2) = 0 \end{cases} \rightarrow \begin{cases} S'' + \lambda S = 0 \\ S(0) = S(1) = 0 \end{cases}, \lambda_n = n^2 \pi^2, S_n = \{\sen n\pi s\}, R_n = \left\{ \frac{\sen n\pi \rho}{\rho} \right\}.$$

Para esos λ_n son $T_n = \{\cos n\pi t, \sen n\pi t\} \rightarrow u(\rho, t) = \sum_{n=1}^{\infty} [k_n \cos n\pi t + c_n \sen n\pi t] \frac{\sen n\pi \rho}{\rho}$.

Las condiciones iniciales imponen: $\sum_{n=1}^{\infty} k_n \frac{\sen n\pi \rho}{\rho} = f(\rho)$ y $\sum_{n=1}^{\infty} n\pi c_n \frac{\sen n\pi \rho}{\rho} = g(\rho)$. (•)

Para hallar estos coeficientes del desarrollo debemos utilizar aquí el **peso** $r(\rho) = \rho^2$ del problema:

$\langle R_n, R_n \rangle = \int_1^2 \rho^2 \frac{\sen^2 n\pi \rho}{\rho^2} d\rho = \frac{1}{2} \int_1^2 [1 - \cos 2n\pi \rho] d\rho = \frac{1}{2}, \langle f, R_n \rangle = \int_1^2 \rho^2 f(\rho) \frac{\sen n\pi \rho}{\rho} d\rho$ (igual g), nos conduce a que: $k_n = 2 \int_1^2 \rho f(\rho) \sen n\pi \rho d\rho, c_n = \frac{2}{n\pi} \int_1^2 \rho g(\rho) \sen n\pi \rho d\rho, n = 1, 2, \dots$

Se llegaría a lo mismo (en otros problemas no habrá atajos) observando que (•) se pueden reescribir:

$$\sum_{n=1}^{\infty} k_n \sen n\pi \rho = \rho f(\rho) \quad \text{y} \quad \sum_{n=1}^{\infty} n\pi c_n \sen n\pi \rho = \rho g(\rho),$$

con lo que estamos desarrollando ρf y ρg en $\sen n\pi \rho$, y esto nos lleva a las fórmulas de antes.

Hay una tercera forma de llegar a esta solución, que sirve para resolver también otros problemas para las ondas en el espacio con simetría radial, incluso utilizando D'Alembert: es fácil ver que **el cambio** $v = \rho u$ **la lleva la ecuación a la de la cuerda vibrante**, que resolvimos separando variables en 4.4.

El problema en la variable v pasa a ser:
$$\begin{cases} v_{tt} - v_{\rho\rho} = 0, 1 \leq \rho \leq 2, t \in \mathbf{R} \\ v(\rho, 0) = \rho f(\rho), v_t(\rho, 0) = \rho g(\rho), v(1, t) = v(2, t) = 0 \end{cases}$$

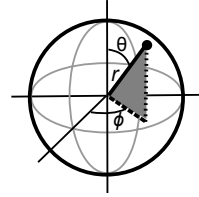
O también podríamos también aplicar **D'Alembert**, tras extender $F(\rho) = \rho f$ y $G(\rho) = \rho g$ de forma impar respecto a 1 y 2 (o impar respecto a 1 y 2-periódica). La solución sería entonces:

$$u(\rho, t) = \frac{1}{2\rho} [F^*(\rho+t) + F^*(\rho-t)] + \frac{1}{2\rho} \int_{\rho-t}^{\rho+t} G^*(s) ds,$$

que se puede poner en la forma $u = \frac{1}{\rho} p(\rho+t) + \frac{1}{\rho} q(\rho-t)$ y ver como suma de ondas esféricas, cuyos radios disminuyen o crecen (la magnitud de la perturbación es inversamente proporcional al radio ρ).

Un problema importante es el **problema de Dirichlet en una esfera** (bastante más complicado que el del círculo). Resolvemos únicamente el caso de **datos independientes de ϕ** con dos variables. En los libros de cálculo se encuentra la expresión del laplaciano en esféricas. Sin el término en $u_{\phi\phi}$:

$$[\text{Pe}] \begin{cases} u_{\rho\rho} + \frac{2}{\rho}u_{\rho} + \frac{1}{\rho^2} \left[u_{\theta\theta} + \frac{\cos\theta}{\sin\theta}u_{\theta} \right] = 0, \quad \rho < R \\ u(R, \theta) = f(\theta), \quad \theta \in [0, \pi] \end{cases}$$



$$u = R(\rho)\Theta(\theta) \rightarrow \left[R'' + \frac{2R'}{\rho} \right] \Theta + \frac{R}{\rho^2} \left[\Theta'' + \frac{\cos\theta}{\sin\theta} \Theta' \right] = 0 \rightarrow \begin{cases} \Theta'' + \frac{\cos\theta}{\sin\theta} \Theta' + \lambda \Theta = 0 \\ \rho^2 R'' + 2\rho R' - \lambda R = 0 \end{cases}$$

Simplificamos la de Θ con $s = \cos\theta$ [$\Theta' = -\sin\theta \frac{d\Theta}{ds}$, $\Theta'' = \sin^2\theta \frac{d^2\Theta}{ds^2} - \cos\theta \frac{d\Theta}{ds}$]. Nos queda:

$$[\text{L}] \quad \left[(1-s^2) \frac{d^2\Theta}{ds^2} - 2s \frac{d\Theta}{ds} + \lambda \Theta = 0 \right], \text{ llamada } \mathbf{ecuación de Legendre}.$$

Debe Θ estar **acotada en** $s = \pm 1$ [$\theta = 0, \pi$ polos de la esfera]: (P) $\begin{cases} (1-s^2)\Theta'' - 2s\Theta' + \lambda\Theta = 0 \\ \Theta \text{ acotada en } s = \pm 1 \end{cases}$.

Para resolver [L] necesitamos series. Como $a(s) = -\frac{2s}{1-s^2}$ y $b(s) = \frac{\lambda}{1-s^2}$ son analíticas si $|s| < 1$ probamos:

$$\begin{aligned} \Theta &= \sum_{k=0}^{\infty} c_k s^k \rightarrow \sum_{k=2}^{\infty} [k(k-1)c_k s^{k-2} - k(k-1)c_k s^k] - \sum_{k=1}^{\infty} 2k c_k s^k + \sum_{k=0}^{\infty} \lambda c_k s^k = 0 \rightarrow \\ s^0: & 2 \cdot 1 \cdot c_2 + \lambda c_0 = 0, \quad c_2 = -\frac{\lambda}{2 \cdot 1} c_0; \quad s^1: 3 \cdot 2 \cdot c_3 + (\lambda - 2)c_1 = 0, \quad c_3 = -\frac{\lambda - 2}{3 \cdot 2} c_1, \\ s^k: & (k+2)(k+1)c_{k+2} + (\lambda - (k+1)k)c_k = 0, \quad c_k = -\frac{\lambda - (k-1)(k-2)}{k(k-1)} c_{k-2} \rightarrow c_4 = \frac{\lambda(\lambda-6)}{4!} c_0, \quad c_5 = \frac{(\lambda-2)(\lambda-12)}{5!} c_1, \dots \\ \Theta &= c_0 \left[1 - \frac{\lambda}{2} s^2 + \frac{\lambda(\lambda-6)}{4!} s^4 + \dots \right] + c_1 \left[s - \frac{\lambda-2}{6} s^3 + \frac{(\lambda-2)(\lambda-12)}{5!} s^5 + \dots \right] = c_0 \Theta_1 + c_1 \Theta_2 \end{aligned}$$

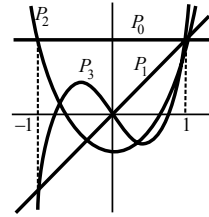
Si $\lambda = n(n+1)$, con $n=0, 1, 2, \dots$, o Θ_1 o Θ_2 se reduce a un polinomio de grado n :

$$\lambda=0 \rightarrow \Theta_1=1, \quad \lambda=6 \rightarrow \Theta_1=1-3s^2, \dots \quad \lambda=2 \rightarrow \Theta_2=s, \quad \lambda=12 \rightarrow \Theta_2=s-\frac{5}{3}s^3, \dots$$

El **polinomio de Legendre** de grado n es el polinomio solución que cumple $P_n(1) = 1$:

$$P_0=1, \quad P_1=s, \quad P_2=\frac{3}{2}s^2-\frac{1}{2}, \quad P_3=\frac{5}{2}s^3-\frac{3}{2}s, \dots$$

El resto de soluciones son series que se ve (es difícil) que no están acotadas a la vez en 1 y en -1. Por tanto los **autovalores** de (P) son $\lambda_n = n(n+1)$, $n=0, 1, 2, \dots$, y sus **autofunciones** son los $\{P_n(s)\}$, con las propiedades habituales. Por ejemplo, P_n tiene n ceros en $(-1, 1)$. Y son **ortogonales**: $\int_{-1}^1 P_n P_m ds = 0$, si $m \neq n$, $\int_{-1}^1 P_n^2 ds = \frac{2}{2n+1}$.



Sigamos con el [Pe]. En la variable inicial θ , las autofunciones del problema de contorno (P) son:

$$\{P_n(s)\} = \{P_n(\cos\theta)\} \quad \left[P_0=1, \quad P_1=\cos\theta, \quad P_2=\frac{3}{2}\cos^2\theta-\frac{1}{2}, \quad P_3=\frac{5}{2}\cos^3\theta-\frac{3}{2}\cos\theta, \dots \right]$$

Resolvemos la ecuación de Euler en R que apareció separando variables para los autovalores λ_n :

$$\rho^2 R'' + 2\rho R' - n(n+1)R = 0 \rightarrow \mu^2 + \mu - n(n+1) = 0, \quad \mu = n, -(n+1) \rightarrow R = c_1 \rho^n + c_2 \rho^{-(n+1)}$$

Deberá R estar **acotada** en $\rho=0$ (centro de la esfera), con lo que: $R_n = \{\rho^n\}$, $n=0, 1, \dots$

La solución es del tipo: $u(\rho, \theta) = \sum_{n=0}^{\infty} a_n \rho^n P_n(\cos\theta)$. Sólo falta: $u(R, \theta) = \sum_{n=0}^{\infty} a_n R^n P_n(\cos\theta) = f(\theta)$.

Como la ecuación en forma autoadjunta pasa a ser $(\sin\theta \Theta')' + \lambda \sin\theta \Theta = 0$, el **peso** es $r(\theta) = \sin\theta$.

El denominador de los coeficientes es $\langle P_n, P_n \rangle = \int_0^\pi [P_n(\cos\theta)]^2 \sin\theta d\theta \stackrel{s=\cos\theta}{=} \int_{-1}^1 [P_n(s)]^2 ds = \frac{2}{2n+1}$.

Por tanto, los a_n de la serie de arriba vienen dados por $a_n = \frac{2n+1}{2R^n} \int_0^\pi f(\theta) P_n(\cos\theta) \sin\theta d\theta$, $n=0, 1, \dots$

[Estas integrales son difíciles (o imposibles) de calcular exactamente. salvo que $f(\theta)$ sea un polinomio en $\cos\theta$].

Ej 3. Si $R=1$ y $f(\theta) = \cos^2\theta$ se tiene (haciendo $s = \cos\theta$): $a_n = \frac{2n+1}{2} \int_{-1}^1 s^2 P_n(s) ds$.

Para escribir s^2 en función de los P_n bastan P_0, P_1, P_2 . Sólo hay que calcular 3 coeficientes:

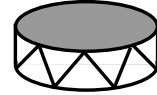
$$a_0 = \frac{1}{2} \int_{-1}^1 s^2 ds = \int_0^1 s^2 ds = \frac{1}{3}. \quad a_1 = \frac{3}{2} \int_{-1}^1 s^2 P_1 ds = 0 \text{ ya que } P_1 \text{ es impar (y también } s^2 P_1).$$

$$a_2 = \frac{5}{2} \int_{-1}^1 \left[\frac{3}{2}s^4 - \frac{1}{2}s^2 \right] ds = \frac{5}{2} \int_0^1 [3s^4 - s^2] ds = \frac{5}{2} \left[\frac{3}{5} - \frac{1}{3} \right] = \frac{2}{3} \rightarrow u(\rho, \theta) = \frac{1}{3} - \frac{1}{3}\rho^2 + \rho^2 \cos^2\theta.$$

$$\text{O mejor, tanteando con los } P_n \text{ de arriba: } \cos^2\theta = \frac{2}{3} \left(\frac{3}{2} \cos^2\theta - \frac{1}{2} \right) + \frac{1}{3} \rightarrow a_2 = \frac{2}{3}, \quad a_0 = \frac{1}{3}.$$

[El problema en 3 variables necesita series dobles y EDOs más complicadas (la 'asociada de Legendre'). Sus soluciones contienen, además de los polinomios de Legendre, productos de ellos por cosenos y senos de ϕ (los 'armónicos esféricos').]

Estudiamos la **vibración de una membrana circular** (de un tambor), suponiendo que hay simetría radial para simplificar (de nuevo será un problema en 2 variables). Y también suponemos que inicialmente es $u_t=0$:



$$\begin{cases} u_{tt} - [u_{rr} + \frac{1}{r}u_r] = 0, & r \leq 1, t \in \mathbf{R} \\ u(r,0) = f(r), & u_t(r,0) = 0, u(1,t) = 0 \end{cases}$$

[Respecto de la ecuación en el espacio sólo cambia un 2 por un 1, pero es lo que complica los cálculos. Aquí no hay cambio que lleve a la cuerda vibrante].

$$u = RT \rightarrow \frac{T''}{T} = \frac{R'' + \frac{R'}{r}}{R} = -\lambda \rightarrow \begin{cases} rR'' + R' + \lambda rR = 0, & R \text{ acotada en } 0, R(1) = 0 \\ T'' + \lambda T = 0, & T'(0) = 0 \rightarrow \{\cos(\sqrt{\lambda}t)\} \end{cases}$$

De nuevo tenemos un **problema singular** para una EDO sólo resoluble con series. Empezamos quitando λ mediante un cambio de variable independiente (se prueba como en 3.3 que todos los $\lambda > 0$):

$$s = \sqrt{\lambda}r = wr \text{ (regla de la cadena)} \rightarrow \frac{dR}{dr} = w \frac{dR}{ds}, \frac{d^2R}{dr^2} = w^2 \frac{d^2R}{ds^2} \rightarrow s \frac{d^2R}{ds^2} + \frac{dR}{ds} + sR = 0.$$

Esta ecuación es caso particular (con $p=0$) de la llamada ecuación de **Bessel** de orden p :

$$[B] \quad s^2 R'' + sR' + [s^2 - p^2]R = 0, \quad p \geq 0,$$

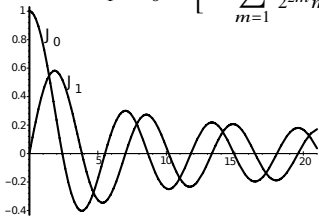
que resolvemos en general pues aparece en otros problemas (si no hay simetría radial, por ejemplo).

$s=0$ es **singular regular** con polinomio indicial $r(r-1) + r - p^2$, $r_1 = p$, $r_2 = -p$. Entonces

$$R_1 = s^p \sum_{k=0}^{\infty} c_k s^k \text{ (acotada en } s=0 \forall p, \text{ y convergente } \forall s) \rightarrow \sum_{k=0}^{\infty} [k(2p+k)c_k s^{p+k} + c_k s^{p+k+2}] = 0.$$

$$c_k = -\frac{c_{k-2}}{k(2p+k)}, \quad k=2,3,\dots, \quad c_1=0 \rightarrow c_3=\dots=0, \quad c_2 = -\frac{c_0}{2^2(p+1)}, \quad c_4 = \frac{c_0}{2^4 2(p+1)(p+2)}, \dots \rightarrow$$

$$R_1 = c_0 s^p \left[1 + \sum_{m=1}^{\infty} \frac{(-1)^m x^{2m}}{2^{2m} m!(p+1)\dots(p+m)} \right] \text{ A estas } R_1 \text{ (elegiendo un } c_0 \text{ concreto) se les llama}$$



funciones de Bessel J_p de primera especie y orden p .

$$\text{En particular son: } J_0(s) = \sum_{m=0}^{\infty} \frac{(-1)^m}{(m!)^2} \left[\frac{s}{2}\right]^{2m}, \quad J_1(s) = \sum_{m=0}^{\infty} \frac{(-1)^m}{m!(m+1)!} \left[\frac{s}{2}\right]^{2m+1},$$

cuyas gráficas están a la izquierda. Como J_0 y J_1 , todas las J_p oscilan y tienen infinitos ceros en $(0, \infty)$. Los de J_0 son: 2.405, 5.520, 8.653, ...

Las soluciones R_2 de Frobenius (**funciones de Bessel K_p de segunda especie**) **no están acotadas** en $s=0$ (por el $J_0 \ln s$, o por aparecer s^{-p}).

Si $p = \frac{1}{2}, \frac{3}{2}, \frac{5}{2}, \dots$, aunque $r_1 - r_2 \in \mathbf{N}$, en la R_2 no aparece el $\ln s$ (caso **c**) de Frobenius, pero con $d=0$).

No sólo esto, las $J_{\frac{2n+1}{2}}$, $n \in \mathbf{Z}$, son funciones elementales. En particular, si $p = \frac{1}{2}$ es $R = c_1 \frac{\sin s}{\sqrt{s}} + c_2 \frac{\cos s}{\sqrt{s}}$.

Volvamos ya a nuestro problema de contorno singular en la variable inicial r :

$$(P) \begin{cases} (rR')' + \lambda rR = 0 & \text{(el peso es } r) \\ R \text{ acotada en } r=0, R(1)=0 \end{cases}$$

La solución general de la ecuación, deshaciendo el cambio $s=wr$, es: $R = c_1 J_0(wr) + c_2 K_0(wr)$.

Por la primera condición es $c_2=0$ (K_0 no acotada). De la otra sale $c_1 J_0(w) = 0$. Por eso los autovalores son los $\lambda_1 < \lambda_2 < \dots$ cuyas raíces son los infinitos ceros de J_0 . Y las autofunciones asociadas son $R_n = \{J_0(w_n r)\}$, que serán ortogonales respecto al peso r . Para esos λ_n las soluciones para la T son: $T_n = \{\cos(w_n t)\}$.

$$\text{Sólo falta imponer una condición: } u(r,t) = \sum_{n=1}^{\infty} c_n \cos(w_n t) J_0(w_n r) \rightarrow u(r,0) = \sum_{n=1}^{\infty} c_n J_0(w_n r) = f(r).$$

$$\text{Y entonces los } c_n \text{ vendrán dados por: } c_n = \frac{\langle f, R_n \rangle}{\langle R_n, R_n \rangle} = \frac{\int_0^1 r f(r) J_0(w_n r) dr}{\int_0^1 r J_0^2(w_n r) dr} = \frac{2}{J_1^2(w_n)} \int_0^1 r f(r) J_0(w_n r) dr.$$

Probemos la última igualdad (integremos el denominador). Para ello utilizaremos esta propiedad:

$$[s^n J_n]' = s^n J_{n-1} \rightarrow J_0' = -J_1, [s J_1]' = s J_0, \dots$$

Haciendo $s = w_n r$ queda: $\frac{1}{w_n^2} \int_0^{w_n} s J_0^2(s) ds = \frac{1}{2w_n^2} [s^2 (J_0^2(s) + J_1^2(s))]_0^{w_n} = \frac{1}{2} J_1^2(w_n) [\text{era } J_0(w_n) = 0]$.

$$\int s J_0^2 ds \stackrel{\uparrow}{=} \frac{s^2}{2} J_0^2 + \int s J_0 s J_1 ds = \frac{s^2}{2} J_0^2 + \frac{1}{2} [s J_1]^2$$

Pese a su aspecto complicado, la solución no lo es mucho más que la $\sum k_n \cos(n\pi t) \sin(n\pi x)$ de la cuerda vibrante. En muchos libros y programas de ordenador se encuentran más ceros w_n de J_0 , con los decimales que se precisen, y los valores de $J_1(w_n)$. Con un programa (tipo Maple o Sage) que reconozca la J_0 y que sepa hacer integraciones aproximadas podemos obtener valores de los c_n para cualquier f que nos aparezca. Obsérvese que **las vibraciones de un tambor**, a diferencia de una cuerda, **no son periódicas** (los w_n no son múltiplos exactos unos de otros).

Resolvemos para acabar algún problema (homogéneo) en **tres variables** (sólo con las EDOs conocidas). Necesitaremos las **series de Fourier dobles**:

Sean $X_n(x)$, $x \in [a, b]$ e $Y_m(y)$, $y \in [c, d]$ las autofunciones de dos problemas de contorno con pesos $r(x)$ y $s(y)$, y sea $f(x, y) \in C^1([a, b] \times [c, d])$. Entonces en $(a, b) \times (c, d)$ se puede escribir f como la serie:

$$f(x, y) = \sum_{m=1}^{\infty} \sum_{n=1}^{\infty} c_{nm} X_n Y_m \quad \text{con} \quad c_{nm} = \frac{1}{\langle X_n, X_n \rangle} \frac{1}{\langle Y_m, Y_m \rangle} \int_a^b \int_c^d f(x, y) X_n Y_m r s \, dy \, dx,$$

donde $\langle u, v \rangle$ es $\int_a^b u v r \, dx$ ó $\int_c^d u v s \, dy$.

Pues $f(x, y) = \sum_{m=1}^{\infty} C_m(x) Y_m$, $C_m(x) = \frac{\langle f(x, y), Y_m \rangle}{\langle Y_m, Y_m \rangle}$. Y ahora $C_m(x) = \sum_{n=1}^{\infty} c_{nm} X_n$, $c_{nm} = \frac{\langle C_m(x), X_n \rangle}{\langle X_n, X_n \rangle}$.

Un caso particular son los desarrollos en **series trigonométricas dobles** de una $f \in C^1([0, L] \times [0, M])$:

$$f(x, y) = \sum_{n=1}^{\infty} \sum_{m=1}^{\infty} b_{nm} \sin \frac{n\pi x}{L} \sin \frac{m\pi y}{M} \quad \text{con} \quad b_{nm} = \frac{4}{LM} \int_0^L \int_0^M f(x, y) \sin \frac{n\pi x}{L} \sin \frac{m\pi y}{M} \, dy \, dx.$$

$$f(x, y) = \frac{1}{4} a_{00} + \frac{1}{2} \sum_{n=1}^{\infty} a_{n0} \cos \frac{n\pi x}{L} + \frac{1}{2} \sum_{m=1}^{\infty} a_{0m} \cos \frac{m\pi y}{M} + \sum_{m=1}^{\infty} \sum_{n=1}^{\infty} a_{nm} \cos \frac{n\pi x}{L} \cos \frac{m\pi y}{M}$$

con $a_{nm} = \frac{4}{LM} \int_0^L \int_0^M f(x, y) \cos \frac{n\pi x}{L} \cos \frac{m\pi y}{M} \, dy \, dx$.

[O desarrollos parecidos en $\sum \sin \cos$ o $\sum \cos \sin$, o impares, o con series en senos y cosenos].

Ej 4. Desarrollemos $f(x, y) = x \cos y$, en $[0, \pi] \times [0, \pi]$ de dos formas distintas:

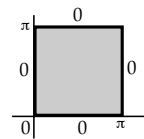
$$b_{nm} = \frac{4}{\pi^2} \int_0^{\pi} \int_0^{\pi} x \cos y \sin nx \sin my \, dy \, dx \rightarrow x \cos y = \frac{16}{\pi} \sum_{n=1}^{\infty} \sum_{m=1}^{\infty} \frac{[-1]^{n+1} m}{n[4m^2-1]} \sin nx \sin 2my.$$

$$a_{nm} = \frac{4}{\pi^2} \int_0^{\pi} \int_0^{\pi} x \cos y \cos nx \cos my \, dy \, dx \rightarrow x \cos y = \frac{\pi}{2} \cos y - \frac{4}{\pi} \sum_{n=1}^{\infty} \frac{1}{(2n-1)^2} \cos[2n-1]x \cos y.$$

[ya estaba desarrollada en y]

Ya podemos resolver esta **ecuación del calor en un cuadrado**:

$$\begin{cases} u_t - k[u_{xx} + u_{yy}] = 0, & (x, y) \in (0, \pi) \times (0, \pi), t > 0 \\ u(x, y, 0) = f(x, y), & u(x, 0, t) = u(x, \pi, t) = u(0, y, t) = u(\pi, y, t) = 0 \end{cases}$$



[Evolución de las temperaturas de una placa, dadas las iniciales, si el borde se mantiene a 0°].

Buscamos soluciones: $u(x, y, t) = X(x)Y(y)T(t) \rightarrow XYT' - k[X''Y + XY'']T = 0$

$$\frac{X''}{X} = \frac{1}{k} \frac{T'}{T} - \frac{Y''}{Y} = -\lambda \rightarrow \begin{cases} X'' + \lambda X = 0 \\ \frac{Y''}{Y} = \lambda + \frac{1}{k} \frac{T'}{T} = -\mu \end{cases} \rightarrow \begin{cases} Y'' + \mu Y = 0 \\ T' + k[\lambda + \mu]T = 0 \end{cases}$$

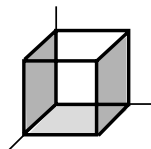
[Una vez más dejamos para la T la expresión más complicada].

Por las condiciones de contorno: $X(0) = X(\pi) = Y(0) = Y(\pi) = 0 \rightarrow \begin{cases} \lambda = n^2, X_n = \{\sin nx\}, n = 1, 2, \dots \\ \mu = m^2, Y_m = \{\sin my\}, m = 1, 2, \dots \end{cases}$

$\rightarrow T_{nm} = \{e^{-(n^2+m^2)kt}\} \rightarrow u_{nm}(x, y, t) = \{e^{-(n^2+m^2)kt} \sin nx \sin my\}$ cumple la EDP y todas las condiciones de contorno, como cualquier combinación lineal de ellas. Esto nos lleva a la serie:

$$u(x, y, t) = \sum_{n=1}^{\infty} \sum_{m=1}^{\infty} b_{nm} e^{-(n^2+m^2)kt} \sin nx \sin my. \quad \text{Además: } u(x, y, 0) = \sum_{n=1}^{\infty} \sum_{m=1}^{\infty} b_{nm} \sin nx \sin my = f(x, y)$$

$$\rightarrow b_{nm} = \frac{4}{\pi^2} \int_0^{\pi} \int_0^{\pi} f(x, y) \sin nx \sin my \, dx \, dy, \quad n, m \geq 1. \quad [\text{Como en la varilla, } u \xrightarrow{t \rightarrow \infty} 0].$$



Ahora uno de **Laplace en un cubo** con condiciones de mixtas (de solución única):

$$\begin{cases} \Delta u = 0 & \text{en } (0, \pi) \times (0, \pi) \times (0, \pi) \\ u(x, y, 0) = f(x, y), & u = 0 & \text{en } x=0, x=\pi, z=\pi, u_y = 0 & \text{en } y=0, y=\pi \end{cases} \quad u = XYZ \rightarrow$$

$$\frac{Y''}{Y} + \frac{Z''}{Z} = -\frac{X''}{X} = \lambda, \quad \frac{Z''}{Z} - \lambda = -\frac{Y''}{Y} = \mu \rightarrow \begin{cases} X'' + \lambda X = 0, X(0) = X(\pi) = 0 \\ Y'' + \mu Y = 0, Y'(0) = Y'(\pi) = 0 \\ Z'' - [\lambda + \mu]Z = 0, Z(\pi) = 0 \end{cases} \rightarrow \begin{cases} \lambda = n^2, X_n = \{\sin nx\}, n = 1, 2, \dots \\ \mu = m^2, Y_m = \{\cos my\}, m = 0, 1, \dots \\ Z_{nm} = \{\text{sh}(\sqrt{n^2+m^2}[\pi-z])\} \end{cases}$$

$$u(x, y, z) = \frac{1}{2} \sum_{n=1}^{\infty} c_{n0} \text{sh}(n[\pi-z]) \sin nx + \sum_{m=1}^{\infty} \sum_{n=1}^{\infty} c_{nm} \text{sh}(\sqrt{n^2+m^2}[\pi-z]) \sin nx \cos my$$

Como $u(x, y, 0) = f(x, y)$, serán: $c_{nm} = \frac{4}{\pi^2 \text{sh}(\pi \sqrt{n^2+m^2})} \int_0^{\pi} \int_0^{\pi} f(x, y) \sin nx \cos my \, dy \, dx$ $n = 1, 2, \dots$
 $m = 0, 1, \dots$

5.4. La transformada de Fourier

Sea $f(x)$ definida en \mathbf{R} y absolutamente integrable $[\int_{-\infty}^{\infty} |f| < \infty]$.

La **transformada de Fourier** de f es la función $\hat{f}(k) = \frac{1}{\sqrt{2\pi}} \int_{-\infty}^{\infty} f(x) e^{ikx} dx$.

Si f es además C^1 se puede recuperar a partir de \hat{f} usando la fórmula de inversión:

Teor 1. $f \in C^1(\mathbf{R})$ y absolutamente integrable $\Rightarrow f(x) = \frac{1}{\sqrt{2\pi}} \int_{-\infty}^{\infty} \hat{f}(k) e^{-ikx} dk \quad \forall x \in \mathbf{R}$.

[Algunos libros no ponen $\frac{1}{\sqrt{2\pi}}$ en la definición de \hat{f} y ponen $\frac{1}{2\pi}$ en la fórmula de inversión; también se puede ver en la primera fórmula e^{-ikx} y en la segunda e^{ikx}].

Se llama a f **transformada inversa** de Fourier de \hat{f} . Vamos a denotar también $\mathcal{F}[f] = \hat{f}$ y $\mathcal{F}^{-1}[\hat{f}] = f$. Es evidente que \mathcal{F} y \mathcal{F}^{-1} son lineales.

Veamos otras propiedades. La \mathcal{F} hace desaparecer derivadas:

Teor 2. $f, f', f'' \in C(\mathbf{R})$ y absolutamente integrables $\Rightarrow \begin{cases} \mathcal{F}[f'] = -ik \mathcal{F}[f] \\ \mathcal{F}[f''] = -k^2 \mathcal{F}[f] \end{cases}$

$\mathcal{F}[f'(x)] = \frac{1}{\sqrt{2\pi}} \int_{-\infty}^{\infty} f'(x) e^{ikx} dx = \frac{1}{\sqrt{2\pi}} [f(x) e^{ikx}]_{-\infty}^{\infty} - \frac{ik}{\sqrt{2\pi}} \int_{-\infty}^{\infty} f(x) e^{ikx} dx = -ik \mathcal{F}[f(x)]$,
pues $f \rightarrow 0$ si $\int_{-\infty}^{\infty} |f|$ converge. $\mathcal{F}[f''(x)] = -ik \mathcal{F}[f'(x)] = -k^2 \mathcal{F}[f(x)]$.

Estas transformadas nos aparecerán resolviendo EDPs (probamos las 2 primeras):

Teor 3. $\mathcal{F}^{-1}[\hat{f}(k) e^{iak}] = f(x-a)$. Si $h(x) = \begin{cases} 1, & x \in [a, b] \\ 0 & \text{en el resto} \end{cases}$, $\mathcal{F}[h] = \frac{1}{\sqrt{2\pi}} \frac{e^{ikb} - e^{ika}}{ik}$.
 $\mathcal{F}(e^{-ax^2}) = \frac{1}{\sqrt{2a}} e^{-k^2/4a}$. $\mathcal{F}^{-1}(e^{-ak^2}) = \frac{1}{\sqrt{2a}} e^{-x^2/4a}$.

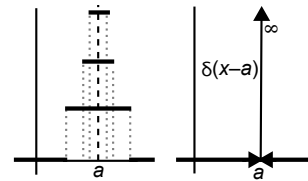
$\mathcal{F}^{-1}(\hat{f} e^{-ika}) = \frac{1}{\sqrt{2\pi}} \int_{-\infty}^{\infty} \hat{f}(k) e^{-ik(x-a)} dk = f(x-a)$. $\mathcal{F}(h) = \frac{1}{\sqrt{2\pi}} \int_a^b e^{ikx} dx = \frac{1}{\sqrt{2\pi}} \frac{e^{ikb} - e^{ika}}{ik}$.

Es totalmente falso que transformadas de productos sean productos (no lo es la integral de un producto). Pero a veces necesitaremos hallar transformadas inversas de productos. Necesitaremos entonces:

Teor 4. La **convolución** de f y g es la función: $(f * g)(x) = \frac{1}{\sqrt{2\pi}} \int_{-\infty}^{\infty} f(x-s) g(s) ds$.
Se tiene $f * g = g * f$, y $\mathcal{F}(f * g) = \mathcal{F}(f) \mathcal{F}(g)$, si las transformadas existen.

Hallemos la transformada de la 'función' **delta de Dirac**, cuya definición sería exige la llamada 'teoría de las distribuciones', pero que es fácil de manejar formalmente. La $\delta(x-a)$ se puede 'definir' intuitivamente como el 'límite' cuando $n \rightarrow \infty$ de

$$f_n(x) = \begin{cases} n & \text{si } x \in [a - \frac{1}{2n}, a + \frac{1}{2n}] \\ 0 & \text{en el resto} \end{cases}$$

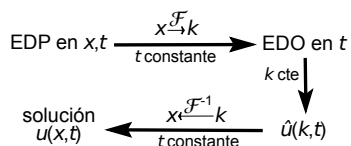


Esta $\delta(x-a)$ tiene las siguientes propiedades (que nos bastarán para trabajar con ella):

$$\delta(x-a) = 0 \text{ si } x \neq a; \int_b^c f(x) \delta(x-a) dx = \begin{cases} f(a) & \text{si } a \in [b, c] \\ 0 & \text{si } a \notin [b, c] \end{cases}; \int_{-\infty}^{\infty} \delta(x-a) dx = 1.$$

Su transformada es muy fácil de hallar: $\mathcal{F}[\delta(x-a)] = \frac{1}{\sqrt{2\pi}} \int_{-\infty}^{\infty} \delta(x-a) e^{ikx} dx = \frac{1}{\sqrt{2\pi}} e^{ika}$.

Aplicar a una EDP en dos variables la \mathcal{F} en una de ellas lleva a una EDO (en la otra variable) para \hat{u} . Resolviendo la EDO se halla \hat{u} . Identificando la u de la que proviene o con el teorema 1 se puede a veces dar la solución, pero en muchos casos hay que dejar u en términos de integrales no calculables.



En cada uno de los pasos anteriores, hay que tener claro cuáles son las variables y cuales las constantes. En lo que sigue, haremos lo esquematizado a la izquierda, pues nuestras ecuaciones serán en (x, t) y siempre haremos transformadas en x .

Ej 1. $\begin{cases} u_t + u_x = g(x) \\ u(x, 0) = f(x) \end{cases}$ Aplicamos la \mathcal{F} en la variable x (se supone que u , g y f son ‘buenas’, para que se pueden usar los teoremas). Utilizando la linealidad, el teorema 2 y el hecho de que:

$$\mathcal{F}[u_t] = \frac{1}{\sqrt{2\pi}} \int_{-\infty}^{\infty} \frac{\partial u(x,t)}{\partial t} e^{ikx} dx = \frac{\partial}{\partial t} \frac{1}{\sqrt{2\pi}} \int_{-\infty}^{\infty} u(x,t) e^{ikx} dx = \hat{u}_t \rightarrow \begin{cases} \hat{u}_t - ik \hat{u} = \hat{g}(k) \\ \hat{u}(k, 0) = \hat{f}(k) \end{cases}$$

Esta lineal de primer orden en t tendrá solución con una constante para cada k :

$$\hat{u}(k, t) = p(k) e^{ikt} - \frac{\hat{g}(k)}{ik}, \text{ con } p \text{ arbitraria} \xrightarrow{\text{d.i.}} \hat{u} = \hat{f}(k) e^{ikt} + \hat{g}(k) \left[\frac{e^{ikt} - 1}{ik} \right]$$

$$\xrightarrow{\text{Teor 3 y 4}} u(x, t) = f(x-t) + \sqrt{2\pi} g(x) * h(x) \text{ siendo } h(x) = \begin{cases} 1 & \text{si } x \in [0, t] \\ 0 & \text{en el resto} \end{cases}$$

Como $\int_0^t g(x-u) du = - \int_x^{x-t} g(s) ds$, concluimos que $u = f(x-t) + \int_{x-t}^x g(s) ds$.

Obsérvese que la expresión anterior nos da la solución del problema si $f \in C^1$ y g continua, aunque no sean absolutamente integrables, que era necesario para aplicar la transformada. Esta situación es típica utilizando la \mathcal{F} : se es riguroso sólo justificando el resultado final.

[Se puede resolver siguiendo 4.1: $\frac{dt}{dx} = 1 \rightarrow \begin{cases} \xi = x-t \\ \eta = x \end{cases} \rightarrow u_\eta = g(\eta) \rightarrow u = p(x-t) + \int_0^x g(s) ds$,
 $p(x) + \int_0^x g(s) ds = f(x) \rightarrow u = f(x-t) - \int_0^{x-t} g(s) ds + \int_0^x g(s) ds$, como antes].

Ej 2. $\begin{cases} u_{tt} + u_{tx} - 2u_{xx} = 0 \\ u(x, 0) = f(x), u_t(x, 0) = 0 \end{cases}$ Aplicando \mathcal{F} : $\begin{cases} \hat{u}_{tt} - ik \hat{u}_t + 2k^2 \hat{u} = 0 \\ \hat{u}(k, 0) = \hat{f}(k), \hat{u}_t(k, 0) = 0 \end{cases}$

Resolviendo esta lineal con coeficientes constantes de coeficientes complejos:

$$\mu^2 - ik\mu + 2k^2 = 0 \rightarrow \mu = 2ik, -ik \rightarrow \hat{u}(k, t) = p(k) e^{2ikt} + q(k) e^{-ikt}$$

Imponiendo datos iniciales: $p(k) = \frac{1}{3} \hat{f}(k)$, $q(k) = \frac{2}{3} \hat{f}(k) \rightarrow \hat{u}(k, t) = \frac{2}{3} \hat{f}(k) e^{-ikt} + \frac{1}{3} \hat{f}(k) e^{2ikt}$.

Y como $\mathcal{F}^{-1}[\hat{f}(k) e^{ika}] = f(x-a)$, será $u = \frac{2}{3} f(x+t) + \frac{1}{3} f(x-2t)$ [solución válida $\forall f \in C^2$, tenga o no transformada].

De nuevo el ejemplo es resoluble también a través de las características:

$$B^2 - 4AC = 9 \text{ hipérbolica} \rightarrow \begin{cases} \xi = x+t \\ \eta = x-2t \end{cases} \rightarrow \begin{cases} u_{xx} = u_{\xi\xi} + 2u_{\xi\eta} + u_{\eta\eta} \\ u_{xt} = u_{\xi\xi} - u_{\xi\eta} - 2u_{\eta\eta} \\ u_{tt} = u_{\xi\xi} - 4u_{\xi\eta} + 4u_{\eta\eta} \end{cases} \rightarrow u_{\xi\eta} = 0$$

$$\rightarrow u = p(\xi) + q(\eta) = p(x+t) + q(x-2t), \text{ solución general.}$$

$$\begin{cases} u(x, 0) = p(x) + q(x) = f(x) & q(x) = \frac{1}{3} f(x) - \frac{C}{3} \\ u_t(x, 0) = p'(x) - 2q'(x) = 0, p(x) = 2q(x) + C \uparrow & p(x) = \frac{2}{3} f(x) + \frac{C}{3} \end{cases} \rightarrow u(x, t) = \frac{2}{3} f(x+t) + \frac{1}{3} f(x-2t)$$

Más interés que estos ejemplos, pues no tenemos ningún otro método para resolverlo, tiene:

Problema para el **calor**
en una varilla infinita: $(P) \begin{cases} u_t - u_{xx} = 0, x \in \mathbf{R}, t > 0 \\ u(x, 0) = f(x), u \text{ acotada} \end{cases}$

Suponemos que u y f son buenas y tienden rápidamente a 0 en $\pm\infty$ para poder utilizar los teoremas.

Aplicando la \mathcal{F} en la variable x : $\begin{cases} \hat{u}_t + k^2 \hat{u} = 0 \\ \hat{u}(k, 0) = \hat{f}(k) \end{cases}$ cuya solución es $\hat{u}(k, t) = \hat{f}(k) e^{-k^2 t}$.

La solución será la convolución de las transformadas inversas de cada uno de los factores:

$$u(x, t) = \frac{1}{2\sqrt{\pi t}} \int_{-\infty}^{\infty} f(s) e^{-(x-s)^2/4t} ds \equiv \int_{-\infty}^{\infty} G(x, s, t) f(s) ds \quad [1]$$

$G(x, s, t) = \frac{1}{2\sqrt{\pi t}} e^{-(x-s)^2/4t}$ es la llamada **solución fundamental** de la ecuación del calor

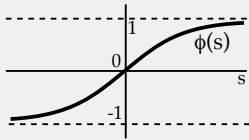
[es la temperatura del punto x en el tiempo t debida a una f inicial de la forma $\delta(x-s)$].

Se prueba que [1] da realmente la solución de (P) con hipótesis más amplias de las que permiten aplicar \mathcal{F} . En concreto, para toda f acotada y continua a trozos [1] da la solución única de (P) que es continua para $t > 0$, menos en los puntos de $t=0$ en que f es discontinua. [1] dice también que, según este modelo matemático, el calor viaja a **velocidad infinita**: si $f > 0$ en un entorno de un x_0 y nula en el resto, está claro que $u(x, t) > 0$ por pequeño que sea t y grande que sea $|x - x_0|$. También se ve que u es C^∞ para $t > 0$ aunque f sea discontinua (¡aunque sea $f(x) = \delta(x-s)$!). Son propiedades claramente diferentes de la ecuación de ondas.

Ej 3. Apliquemos [1] para resolver un par de problemas particulares.

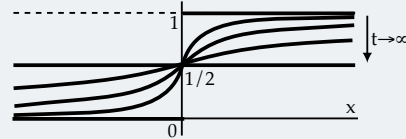
Sea primero $f(x) = \begin{cases} 0, & x < 0 \\ 1, & x \geq 0 \end{cases} \rightarrow u(x,t) = \frac{1}{2\sqrt{\pi t}} \int_0^\infty e^{-(x-s)^2/4t} ds$. Haciendo el cambio $v = \frac{s-x}{2\sqrt{t}}$:

$$u(x,t) = \frac{1}{\sqrt{\pi}} \int_{-x/2\sqrt{t}}^\infty e^{-v^2} dv = \frac{1}{\sqrt{\pi}} \int_0^{x/2\sqrt{t}} e^{-v^2} dv + \frac{1}{\sqrt{\pi}} \int_0^\infty e^{-v^2} dv = \frac{1}{2} \left[1 + \phi\left(\frac{x}{2\sqrt{t}}\right) \right],$$



donde $\phi(s) = \frac{2}{\sqrt{\pi}} \int_0^s e^{-v^2} dv$ es la llamada función error que aparece a menudo en la teoría de las probabilidades.

Como se observa, la solución, suave si $t > 0$, tiende hacia $\frac{1}{2}$ para todo x cuando $t \rightarrow \infty$.



Sea ahora $f(x) = e^{-x^2}$. Completamos cuadrados y hacemos un cambio de variable:

$$u = \frac{1}{2\sqrt{\pi t}} \int_{-\infty}^\infty e^{-s^2} e^{-\frac{(x-s)^2}{4t}} ds = \frac{1}{2\sqrt{\pi t}} e^{-\frac{x^2}{4t+1}} \int_{-\infty}^\infty e^{-\bullet^2} ds \quad \text{con } \bullet = \frac{s\sqrt{4t+1} - \frac{x}{\sqrt{4t+1}}}{2\sqrt{t}}.$$

$$\text{Haciendo } z = \bullet \text{ se obtiene: } u = \frac{1}{2\sqrt{\pi t}} \frac{2\sqrt{t}}{\sqrt{4t+1}} e^{-\frac{x^2}{4t+1}} \int_{-\infty}^\infty e^{-z^2} dz = \frac{1}{\sqrt{1+4t}} e^{-\frac{x^2}{1+4t}}.$$

Pero sale mucho más corto aplicando directamente \mathcal{F} :

$$\begin{cases} \hat{u}_t = -k^2 \hat{u} \\ \hat{u}(k,0) = \frac{1}{\sqrt{2}} e^{-k^2/4} \end{cases} \rightarrow \hat{u} = \frac{1}{\sqrt{2}} e^{-\frac{k^2(1+4t)}{4}} \rightarrow u = \frac{1}{\sqrt{1+4t}} e^{-\frac{x^2}{1+4t}}.$$

Ej 4.

$$\begin{cases} u_t - u_{xx} + 2tu = 0, & x \in \mathbf{R}, t > 0 \\ u(x,0) = f(x), & u \text{ acotada} \end{cases}$$

Hallemos la solución para una $f(x)$ general y deduzcamos la solución para $f(x) \equiv 1$.

[Como $\mathcal{F}(1)$ no existe, no se puede resolver directamente el problema con $u(x,0) = 1$].

$$\begin{cases} \hat{u}_t + (k^2 + 2t)\hat{u} = 0 \\ \hat{u}(k,0) = \hat{f}(k) \end{cases} \rightarrow u(\hat{k},t) = p(k) e^{-k^2 t - t^2} \xrightarrow{d.i.} u(\hat{k},t) = \hat{f}(k) e^{-t^2} e^{-k^2 t} \rightarrow$$

$$u(x,t) = e^{-t^2} f(x) * \mathcal{F}^{-1}(e^{-k^2 t}) = \frac{e^{-t^2}}{2\sqrt{\pi t}} \int_{-\infty}^\infty f(s) e^{-(x-s)^2/4t} ds.$$

$$\text{En particular, si } f(x) \equiv 1, \quad u = \frac{e^{-t^2}}{2\sqrt{\pi t}} \int_{-\infty}^\infty e^{-(x-s)^2/4t} ds = \frac{e^{-t^2}}{\sqrt{\pi}} \int_{-\infty}^\infty e^{-u^2} du = e^{-t^2}.$$

$(s-x)/(2\sqrt{t}) = u$

$$\left[\text{Parece que sería adecuado hacer un cambio de la forma } u = w e^{-t^2} \rightarrow \begin{cases} w_t - w_{xx} = 0 \\ w(x,0) = f(x) \end{cases}; \right.$$

de [1] se deduce nuestra fórmula y $w \equiv 1$ es solución clara si $f(x) \equiv 1$ (la varilla sigue a 1^0).

Ej 5.

$$\begin{cases} u_t - u_{xx} = \delta(x) \\ u(x,0) = 0 \end{cases}$$

$$\begin{cases} \hat{u}_t + k^2 \hat{u} = \frac{1}{\sqrt{2\pi}} \\ \hat{u}(k,0) = 0 \end{cases} \rightarrow \hat{u} = \frac{1-e^{-k^2 t}}{k^2 \sqrt{2\pi}} \rightarrow u = \frac{1}{2\pi} \int_{-\infty}^\infty \frac{1-e^{-k^2 t}}{k^2} e^{-ikx} dk.$$

No sabemos hallar esta integral en general, pero sí podemos calcular, por ejemplo:

$$u(0,t) = \frac{1}{2\pi} \int_{-\infty}^\infty \frac{1-e^{-k^2 t}}{k^2} dk = -\frac{1-e^{-k^2 t}}{2\pi k} \Big|_{-\infty}^\infty + \frac{t}{\pi} \int_{-\infty}^\infty e^{-k^2 t} dk = \frac{t}{\pi} \sqrt{\frac{\pi}{t}} = \sqrt{\frac{t}{\pi}}$$

$$\left[\int_{-\infty}^\infty e^{-k^2 t} dk = \frac{1}{\sqrt{t}} \int_{-\infty}^\infty e^{-s^2} ds \right] \nearrow$$